

Химия

УДК 531.1 + 547.554 + 661.185 + 661.312

Н. М. БЕЙЛЕРЯН, М. З. АСАТУРЯН

КИНЕТИКА РАСПАДА ПЕРОКСИДА ВОДОРОДА В ЩЕЛОЧНОЙ СРЕДЕ
В ПРИСУТСТВИИ ДОДЕЦИЛСУЛЬФАТА НАТРИЯ, ДОДЕЦИЛТРИ-
МЕТИЛАММОНИЯ БРОМИДА И ИХ СМЕСЕЙ

Изучено влияние додецилсульфата натрия, додецилтриметиламмония бромида и их смесей на кинетику реакции пероксида водорода с пергидроксиданионом. Установлено, что в присутствии поверхностно-активных веществ (ПАВ) и в интервале температур 298–308K зависимость скорости W_p реакции $H_2O_2 + HO^-$ от $[ПАВ]_0$ изображается кривой, проходящей через минимум. W_p минимальна при $[ПАВ]_0 = ККМ$ (критическая концентрация мицеллообразования). Показано, что данная реакция протекает параллельно по двум механизмам: нерадикальному (основной путь) и радикальному (в малой степени). При $[ПАВ]_0 < ККМ$ ПАВ подавляет второй путь. При $[ПАВ]_0 > ККМ$ образуются мицеллы, являющиеся новой зоной реакции. При проведении реакции в смесях катионное ПАВ+анионное установлено зависимость W_p от каллоидно-химических свойств среды. Более благоприятна зона, где имеются везикулы, в частности обращенные мицеллы.

Все процессы, которые протекают в живой природе, отличаются тем, что они осуществляются при очень мягких условиях – в водной среде – с удивительной избирательностью и большой скоростью практически без отходов. Это обусловлено тем, что они протекают в идеально молекулярной

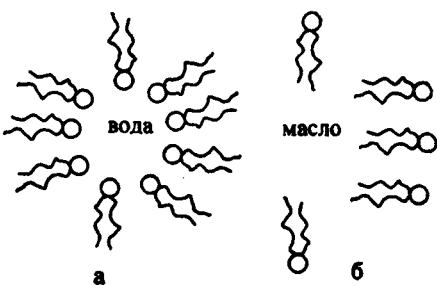


Рис. 1.

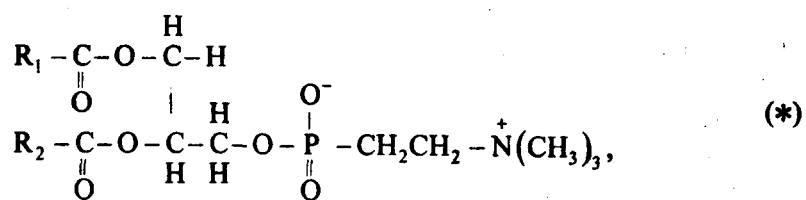
самоорганизованной среде – в биологических клетках, которые покрыты мембранами, и их структура напоминает мицеллы, образованные поверхностно-активными веществами (ПАВ), обладающие двумя «хвостами» и одной полярной «головкой» (см. рис. 1). Эти молекулы образуют агрегаты – бислои (липосомы), которые состоят из совместно существующих обращенных (а) и прямых (б)

мицелл, в частности в виде везикул.

С учетом того факта, что среда играет существенную, в ряде случаев и определяющую роль в жидкофазных реакциях, подбор подходящей среды

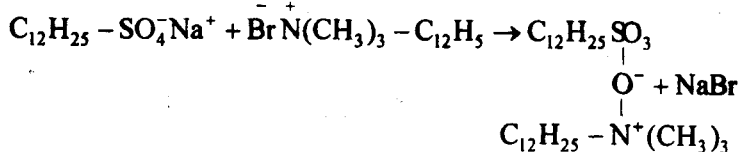
для проведения в ней реакции с оптимальными условиями является актуальной задачей [1].

Структуру, представленную на рис. 1, можно получать с использованием ПАВ природного происхождения, например, фосфатидилхолина (лецитина):



где R_1COO и R_2COO – остатки жирных кислот.

Естественно полагать, что ПАВ типа а (рис. 1) можно синтезировать реакцией катионного ПАВ с анионным, а именно:



Такие соли малорастворимы в воде. Этот тип соединений ныне называется «cationно-анионным ПАВ» [2].

Первое сообщение о синтезе соединения на базе амфифильных молекул относится к 1943 г. [3]. Однако оно очень долгое время оставалось без нужного внимания из-за его малой растворимости в воде. Начиная с 1979 г., интерес к таким ПАВ возобновился [4], а после 1980 г. появилось много работ, посвященных изучению их поверхностных свойств [2]. В течение последнего десятилетия значительно возросло число публикаций, касающихся синтеза и изучения свойств катионно-анионных ПАВ [5–12]. В частности в работе [5] показана возможность получения везикул при взаимодействии катионных ПАВ с анионными. Такие структуры используются также для получения наноразмерных соединений [6].

Из этого очень краткого обзора следует, что в принципе тройные системы – вода+одно катионное ПАВ+одно анионное ПАВ – могут быть своеобразными средами для проведения в них различных химических реакций.

Харрингтоном и Калером [13] изучены такие системы, в частности система $\text{вода} + \text{C}_{12}\text{H}_{25}\text{SO}_4\text{Na}$ (ДДС) + $\text{C}_{12}\text{H}_{25}\text{N}(\text{CH}_3)_3\text{Br}$ (ДТАБ) методом треугольника Гиббса (см. рис. 2). Ими показано образование пяти основных зон с различными каллоидно-химическими свойствами в зависимости от соотношений начальных концентраций трех компонент.

Нами использованы именно эти зоны как реакционные среды для проведения в них реакции $H_2O_2 + HOO^-$. Выбор этой реакции в качестве объекта исследования не случаен.

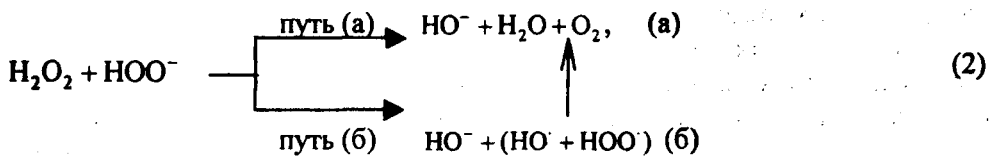
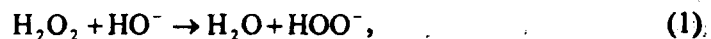
В работах [14, 15] впервые показано, что маслорастворимые ненасыщенные кетоны можно эпоксидировать в воде пергидроксидным анионом HOO^- , полученным реакцией $\text{H}_2\text{O}_2 + \text{HO}^- \rightarrow \text{H}_2\text{O} + \text{HOO}^-$, содержащей

малые количества ДТАБ. Этот новый способ авторами был назван «обращенным межфазным катализом». В последнее время появилось большое количество работ, посвященных применению этой системы как эпоксидирующего агента в различных условиях, включая гетерогенные (твердо/жидкие) системы [16–24].

Однако ни в одной из проведенных работ детально не обсужден механизм реакции $\text{H}_2\text{O}_2 + \text{HO}^-$, более того, не рассмотрен механизм влияния ПАВ.

Настоящее сообщение посвящено изложению данных, полученных нами при изучении кинетики реакции $\text{H}_2\text{O}_2 + \text{HO}^-$ в средах, отличающихся своими коллоидно-химическими свойствами, с целью выявить влияние последних на механизм распада H_2O_2 .

Согласно [25, 26], в отсутствие ПАВ данная реакция протекает параллельно по двум механизмам: нерадикальному (ион-молекулярному) – основной путь, и радикальному – второй путь (в меньшей степени):



В литературе нет данных, касающихся влияния ПАВ на кинетику и механизм этой реакции.

Скорость реакции W_p (мл/мин) определялась газометрически по объему выделяющегося кислорода (v_{O_2}) (см. реакции (2) а, б), точность определения v_{O_2} составляет $\pm 2 \cdot 10^{-3}$ мл. Температура поддерживалась постоянной с точностью $\pm 0,2^\circ\text{C}$. Зависимость W_p от температуры изучалась в интервале 298–308К. Начальные концентрации реагентов оставлялись постоянными: $[\text{H}_2\text{O}_2]_0 = 1 M$, $[\text{NaOH}]_0 = 0,5 M$, $[\text{H}_2\text{O}_2]_0 = [\text{HO}^-]_0 = 0,5 M$, общий объем

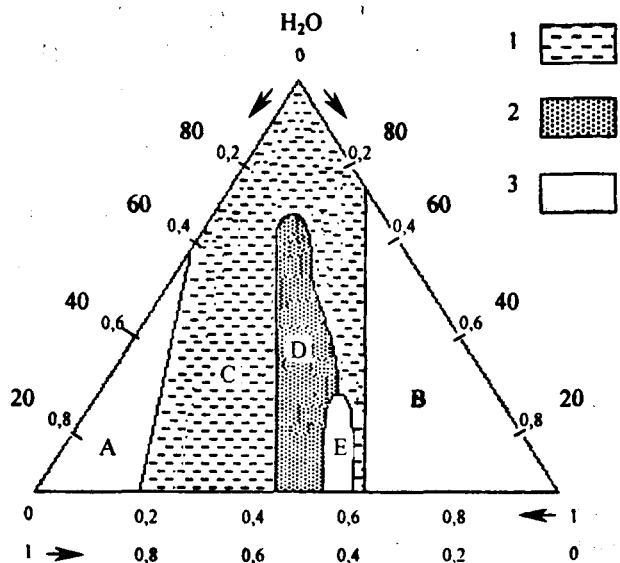


Рис. 2. Диаграмма трехкомпонентной системы $\text{H}_2\text{O} + \text{ДДС} + \text{ДТАБ}$: 1 – изотропная жидкость+осадок (C), 2 – везикулы+осадок (D), 3 – везикулы+многофазная система (E), мицеллы+продукт (A, B).

реактора равен 4,0 мл. Использована бидистиллированная вода. NaOH был марки х. ч. ДДС и ДТАБ производства фирмы *Aldrich* использовались без дополнительной очистки, исходный H_2O_2 – 30%-ый водный раствор. Его концентрация определялась перманганатометрическим методом.

Согласно [27], $KKM_{ДДС} = 0,8 \cdot 10^{-2} M$ и $KKM_{ДТАБ} = 1,2 \cdot 10^{-2} M$ при 298К.

Концентрационный интервал ПАВ в реакторе подобран на основании рис. 2 с учетом того обстоятельства, что критические концентрации мицеллообразования (KKM) обоих ПАВ одновременно включались в изученный интервал.

Результаты и их обсуждение.

I. Изучение функций $W_p = f([ПАВ]_0)$ при разных температурах в присутствии ДДС и ДТАБ в отдельности.

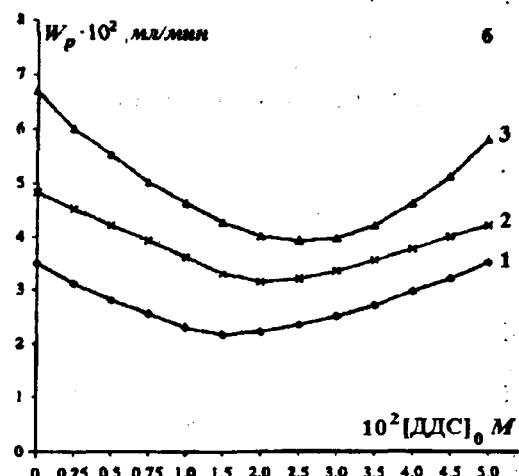
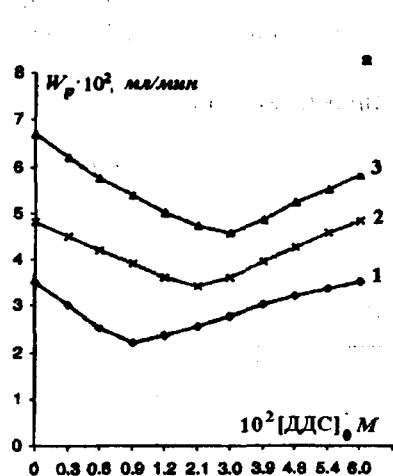


Рис. 3. Зависимости W_p от начальных концентраций ДДС (а) и ДТАБ (б). 1 – 298К; 2 – 303К; 3 – 308К.

Из рис. 3 следует, что:

1) независимо от природы ПАВ и температуры опыта функция $W_p = f([ПАВ]_0)$ изображается кривой, проходящей через минимум, причем минимуму соответствует ККМ данного ПАВ (напр., при 298К);

2) с повышением температуры минимумы перемещаются в сторону больших $[ПАВ]_0$. По нашему мнению, это обусловлено увеличением растворимости ПАВ в воде с повышением температуры, что приводит к увеличению их ККМ.

Установленная зависимость объясняется следующим образом. До ККМ молекула ПАВ участвует в реакции как акцептор свободных радикалов HO^\cdot и HO_2^\cdot , которые образуются промежуточно, согласно реакции (2) б. Уменьшение скорости этой реакции приводит к уменьшению общей скорости выделения O_2 . Этот вывод обосновывается недавно установленным фактом одним из авторов [28] о том, что вообще ПАВ, в частности ДДС и ДТАБ, легко реагируют с $S_2O_8^{2-}$ по радикально-цепному механизму.

При $[ПАВ]_0 > ККМ$ в системе образуются мицеллы. Т.о. образуется новая зона, известная как «слой Штерна», которая играет существенную роль при мицеллярном катализе. По всей вероятности W_p больше в этой зоне.

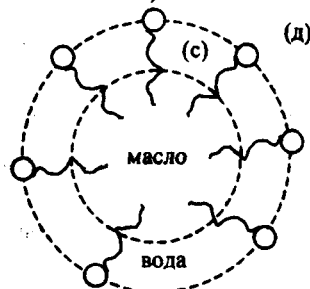


Рис. 4.

На рис. 4 изображена мицелла, где (с) – слой Штерна, а (д) – заряженная головка полярной части молекулы ПАВ (в случае ДДС это SO_4^- , а ДТАБ – R^+NMe_3).

II. Изучение кинетики реакции $H_2O_2 + HOO^-$ в смесях ДДС+ДТАБ.

Согласно данным работы [13], в зоне А (рис. 2) имеются мицеллы ДТАБ+результат реакции ДТАБ+ДДС (продукт, П), в зоне В – мицеллы ДДС+П, в зоне С – изотропная жидкость+П в виде осадка, в зоне D – везикулы+осадок и в зоне Е – везикулы+неполностью расшифрованные агрегаты.

Полученные экспериментальные данные приведены в табл. 1.

Таблица 1

Влияние коллоидно-химических свойств среды на W_p реакции $H_2O_2 + HOO^-$ при разных температурах и концентрациях ПАВ в реакторе

T, K	Зона	$[DTAB]_0 \cdot 10^2, M$	$[DDC]_0 \cdot 10^2, M$	$[DTAB]_0/[DDC]_0$	$W_p \cdot 10^2, ml/min$
298	A	11,5	0,4	29,0	2,4
	C	1,4	1,4	1,0	2,2
	B	0,6	3,75	0,16	2,2
	D	3,75	9,4	0,7	3,5
	E	5,0	9,5	0,5	3,9
303	A	11,5	0,4	29,0	3,7
	C	1,4	1,4	1,0	3,7
	B	0,6	3,75	0,16	3,8
	D	3,75	9,4	0,7	5,6
	E	5,0	9,5	0,5	6,0
308	A	11,5	0,4	29,0	5,0
	C	1,4	1,4	1,0	4,6
	B	0,6	3,75	0,16	4,2
	D	3,75	9,4	0,7	9,8
	E	5,0	9,5	0,5	10,8

Тот факт, что в зонах А и В П не находится в виде осадка, говорит о том, что он включен в мицеллы благодаря гидрофобным взаимодействиям между алкильными «хвостами» (рис. 5).

В результате, с одной стороны увеличивается объем мицеллы, что приводит к уменьшению плотности поверхностного заряда, чему способствуют также электростатические взаимодействия «головок» молекул отдельных ПАВ с «головкой» П, с другой – в некоторой степени меняется природа слоя Штерна (с). По всей вероятности, оба эти фактора неблагоприятны для реакции по сравнению с чистыми мицеллами.

В зоне С П в осадке. По-видимому, часть реагентов (H_2O_2 и HOO^-) адсорбируется на поверхности П, что приводит к уменьшению их реальной концентрации, следовательно, и к уменьшению W_p .

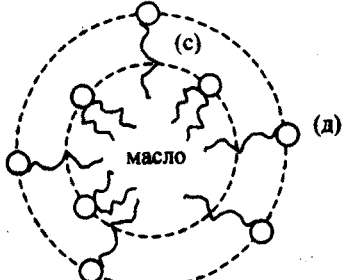
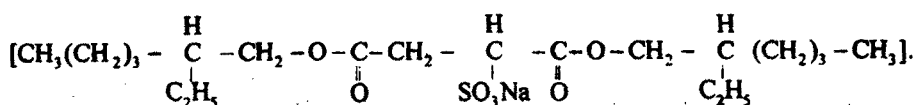


Рис. 5.

Естественно полагать, что эта вода тоже может быть зоной для водорастворенных реагентов, таких, как H_2O_2 и HOO^- . Следует отметить, что заряженные «головки» ПАВ обращены к центру мицелл, где есть вода. В такой среде W_p больше. Это объяснение – общее для зон Д и Е.

Для того чтобы проверить правдоподобность этой гипотезы, W_p реакции определялась в обращенных мицеллах, полученных смешиванием водного раствора реагентов с циклогексиловым раствором маслорастворенного аэрозоля АОТ:



Полученные данные приведены в табл. 2.

Таблица 2

$T=298K, [H_2O_2]_0 = [HOO^-]_0 = 0,5M$

$[AOТ]_0 \cdot 10^2, M$	0	1,5	3,0
$W_p \cdot 10^2, \text{мл/мин}$	3,3	6,0	7,0

Отсюда следует, что в действительности обращенные мицеллы являются лучшей зоной для реакции $H_2O_2 + HOO^-$, чем прямые, т.к. в этом случае W_p почти в 2 раза больше.

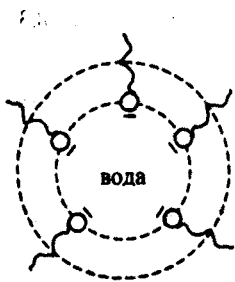


Рис. 6. Мицелла АОТ.

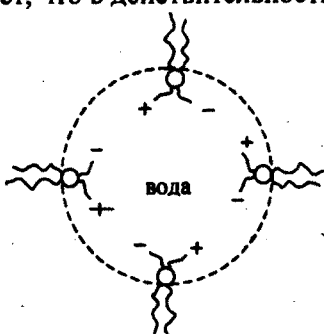


Рис. 7. Мицелла лецитина.

6). Это объяснение в большей степени подтверждается на основании результатов, полученных при замене АОТ маслорастворимым лецитином – ПАВ

Кроме действия «природы» воды, в обращенных мицеллах АОТ следует учесть еще и возможное действие отрицательно заряженных головок SO_3^- (см. рис.

цвиттерионного типа (см. формулу (*)), тоже образующим «обращенные мицеллы» (см. рис. 7). Результаты приведены в табл. 3.

Таблица 3

$$T=303K, [H_2O_2]_0 = [HOO^-]_0 = 0,5M$$

$[лецитин]_0 \cdot 10^2, M$ в циклогексане	0	0,8	1,5	2,2
$W_p \cdot 10^2, ml/min$	5,0	8,6	11,6	13,0

На основании результатов, приведенных в табл. 1–3, можно легко убедиться в том, что мицеллы вообще, а обращенные в частности, являются более эффективными средами для реакции $H_2O_2 + HOO^-$, чем вода. По всей вероятности, в таких средах значительно увеличивается скорость ион-молекулярного пути согласно реакции (2) а.

Кафедра физической и коллоидной химии

Поступила 30.06.2004

ЛИТЕРАТУРА

1. Бейлерян Н.М., Геворкян М.Г., Симонян Г.С. Тезисы докл. Юбилейной научной конф.: Новые проблемы химической физики. Ер., 2002, с. 40.
2. Goralzyk D.J. – J. Coll. Interface Sci., 1980, v. 77, p. 68.
3. Scott A.B., Tortar H.V., Lingfelter E.C. – J. Am. Chem. Soc., 1943, v. 65, p. 692–698.
4. Tajima K., Nakamura A., Tsutsui T. – Bull Chem. Soc. Japan, 1979, v. 52, № 7, p. 2060.
5. Yatilla M.T., Herrington K.L., Brasher L.L., Kaler E.W. – J. Phys. Chem., 1996, v. 100, p. 5774.
6. Yacob I.I., Nunes A.C., Bose A. – J. Coll. Interface Sci., 1995, v. 171, p. 73.
7. Nilsson S., Goldraich M., Lindeman B., Talmon Y. – Langmuir, 2000, v. 16, p. 6625.
8. Harison P. – Langmuir, 2001, v. 17, p. 4167.
9. Jian-bin Hung, Ying Zhu, Bu-yao Zhu, Run Kai Li, Hong-lan Fu – J. Coll. Interface Sci., 2001, v. 236, p. 201.
10. Simonici B., Kert H. – Dyes and Pigments, 2002, v. 54, p. 221.
11. Jansuk B., Dziennicka A., Wojciek W. – A. Phys. Chem. Eng. Aspects, 2003, v. 220, p. 61.
12. Varade D., Modi L., Ankleshwaria H., Bahadur P. – Physical Chem., 2003, v. 40, № 1, p. 46.
13. Harrington K.L., Kaler E.W. – J. Phys. Chem., 1993, v. 97, p. 13792.
14. Royer B., Hamardzoumian A., Roque J.P., Beylerian N. – Tetrahedron, 1999, v. 56, p. 6147.
15. Royer B., Hamardzoumian A., Roque J.P., Beylerian N. – Tetrahedron, 2000, v. 57, p. 303.
16. Jokela P., Johnson B., Khan A. – J. Phys. Chem., 1987, v. 91, p. 3291.
17. Talmon Y., Evans D.F., Ninham B.W. – Science, 1983, v. 221, p. 1047.
18. Jamaguchi K., Lohsuke H., Mizugah T., Kohii – J. Org. Chem., 2000, v. 65, № 21, p. 6897.
19. Levai A., Potonay T., Izekeli A., Waldemar A., Jeko J. – J. Heterocycl. Chem., 2000, v. 37, № 5, p. 1068.
20. Berkenel A., Andrea M. – Tetrahedron Letters, 2001, v. 12, p. 2293.
21. Gerd-Jan ten Brink, Fernandez C., M. van Vilet, Arends I.W., Sheldon A. – J. Chem. soc., Perkin Trans I, 2001, p. 224.
22. Gao Huanyin, Wenki Lu, Chen Qingling – Chinese J. of Catalysis, 2002, v. 23, № 1, p. 1.
23. Aqrawai G.L., Singh J.V. – Chem. Commun., 2002, v. 25, № 1, p. 82.
24. Van der Gerrend – Inorg. Chem., 2002, v. 41, № 26, p. 7042.
25. Beylerian N., Asaturyan M. – Oxd. Commun., 2004, v. 27, № 2, p. 263.
26. Бейлерян Н.М., Саруханян Э.Р., Асатуриян М.З. – Физико-химия полимеров: Сб. статей. Тверь, 2003, № 9, с. 69.

27. Поверхностно-активные вещества. Справочник под ред. Абрамзона А.А. Ленинград: Химия, 1979.
 28. Beylerian N., Harutyunyan R., Vardanyan L., Grigoryan J. – J. Surface Sci. Tech., 2001, v. 17, № 1–2, p. 117.

Հ. Ա. ԽԵՂԱՋԱՆ, Ա. Զ. ԱՄԱՆՈՒՅՆ

ՀԻՄԱՅԻՆ ՍԻՋՎԱՅՐՈՒՄ ՆԱՏՐԻՈՒՄ ԴՈԴԵՑԻԼՈՒԹՔԱՏԻ,
ԴՈԴԵՑԻԼՏՐԻՍԵԹԻԼԱՄՈՆԻՈՒՄ ԲՐՈՍԻԴԻ ԵՎ ԴՐԱՆՑ
ԽԱՌՆՈՒՐԴՆԵՐԻ ՆԵՐԿԱՅՈՒԹՅԱԱԲ ԶՐԱԾԻ ՊԵՐՈՔԱԴԻԴԻ
ՔԱՅԱՎԱՐԱՆ ԿԻՆԵՑԻԿԱՆ

Ամփոփում

Ցույց է տրված, որ $298\text{--}308K$ ջերմաստիճանային տիրույթում կատարված և անհոնային մակերևութային ակտիվ նյութերի (UPU) ներկայությամբ $\text{H}_2\text{O}_2 + \text{HOO}^-$ ռեակցիայի արագության (W_r) կախումը [UPU_0]-ից արտահայտվում է մինիմումով անցնող կորուպ: W_r -ի արժեքը նվազագույնն է, եթե $[\text{UPU}_0]_0 = \text{UPU}$ (միցելագոյացման կրիտիկական կոնցենտրացիա): Եթե $[\text{UPU}_0]_0 > \text{UPU}$, համակարգում միցելներ են գոյանում, որոնք առավել նպաստավոր միջավայր են հանդիսանում տվյալ ռեակցիայի համար:

Այս երկու տիպի ՍԱՆ-երի խառնուրդում՝ կախված դրանց ելային կոնցենտրացիաների հարաբերությունից, տարրեր կուրիդա-քիմիական հատկություններով համակարգեր են ստացվում: Ցույց է տրված, որ W_p -ը կախված է այդ հատկություններից: Ըստված միջեւները ավելի նպաստավոր միջավայր են, քան ուղիղները:

N. M. BEYLERIAN, M. Z. ASATURYAN

KINETICS OF HYDROGEN PEROXIDE DECOMPOSITION IN PRESENCE OF SODIUM DODECYLSULPHATE, DODECYLTRIMETHYLAMMONIUM BROMIDE AND THEIR MIXTURES

Summary

It has been established that in the temperature range 298–308K in presence of cationic and anionic surfactants the rate of the reaction (R_r) $\text{H}_2\text{O}_2 + \text{HOO}^-$ depends on the $[S]_0$ by bell-shape curve. R_r has minimum value at $[S]_0 = \text{ccm}$. At $[S]_0 > \text{ccm}$ in the system micelles are formed which are more favorable medium for the reaction. Depending on the ratio of both S initial concentrations their mixtures show different colloid-chemical properties. It is shown that R_r depends on them. The inverse w/oil micelles are more favorable medium for the studied reaction than the oil/w type direct micelles.